

05.4; 09

© 1992

О ФОРМЕ СИГНАЛА И ПРИРОДЕ МИКРОВОЛНОВОГО ОТКЛИКА В ВТСП МАТЕРИАЛАХ

И. М. З а р и ц к и й, В. А. С т е ф а н о в и ч,
С. П. К о л е с н и к, А. А. К о н ч и ц

Важным результатом исследований ВТСП материалов с помощью техники ЭПР спектроскопии явилось установление многокомпонентного характера сигналов микроволнового отклика (МО), наблюдавшихся при $T < T_c$ в низких магнитных полях [1]. Природа нескольких из обнаруженных компонент МО остается дискуссионной. В том числе интенсивно изучается природа одной из стационарных компонент МО, исторически обнаруженной в числе первых в ВТСП [2] и наблюдаемой как в прямом отклике, так и модуляционном режиме в виде производной от сигнала прямого отклика при $H_m > H^*$ ($H^* \approx 10^{-2} - 10^{-3}$ Э для различных ВТСП материалов). Эта компонента для высококачественных образцов имеет дисперсионный характер, весьма интенсивна и наблюдается в керамических, порошкообразных, тонкопленочных и (иногда) монокристаллических образцах ВТСП [1].

Сигналы МО регистрировались с помощью радиоспектрометра $SE/X - 2544$ ($\nu = 9.4$ Гц) с высокочастотной модуляцией магнитного поля ($\omega_m/2\pi = 100$ кГц) в виде производной от кривой прямого отклика. Использовались образцы Y - и Bi -ВТСП материалов в виде керамики, порошка, поликристаллических тонких пленок ($d = 1$ мкм) и монокристаллов.

Типичный вид сигнала МО в ВТСП материалах представлен на рис. 1, а. Видно, что $dU/dH \propto H$ при $H < H_{max}$, а затем наблюдался плавный спад dU/dH с ростом H . Было установлено, что наилучшей аппроксимацией участка спада dU/dH является $dU/dH \propto \exp(-H/H_0)$. Это показано на рис. 1, б, где кривые $dU/dH = f(H)$ представлены в полулогарифмическом масштабе для керамики и тонких ВТСП пленок УВСО, а также монокристаллов на основе Bi . Таким образом, в целом кривая МО может быть описана формулой

$$dU/dH = AH \exp(-H/H_0), \quad (1)$$

где A и H_0 — параметры, зависящие от свойств конкретных образцов ВТСП материалов. Кроме того, при уменьшении линейных размеров керамических образцов до значений $\approx 10-100$ мкм сплошной сигнал МО трансформируется в ряд дискретных квазипериодических сигналов (рис. 2).

Все это наводит на мысль о том, что источником сигнала МО может быть отклик ансамбля микроконтуров квантования, содержа-

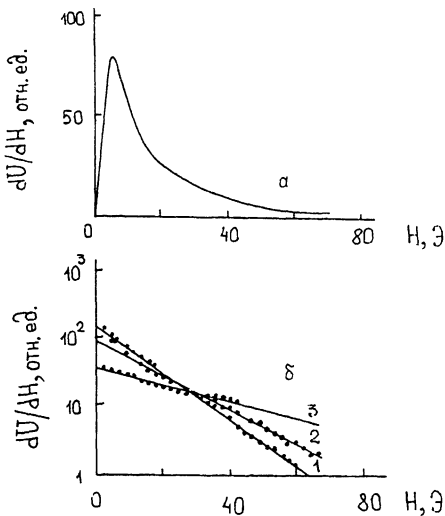


Рис. 1. Типичный вид экспериментальной наблюдаемой в ВТСП производной сигнала микроволнового отклика (а) и участок спада кривых в полулогарифмическом масштабе (б) для керамики *YBCO* (1), пленки *YBCO* (2), монокристалла *BSCCO* (3).

ших слабые связи. О реальности существования таких микроконтуров в монокристаллах ВТСП свидетельствуют данные [3].

Перейдем теперь к теоретическому описанию наблюдаемых эффектов. Прежде всего обратим внимание на то, что отдельный контур со слабой связью представляет собой магнитный диполь с моментом $\rho \alpha I S$ (I - сверхток, индуцированный внешним магнитным полем, S - площадь контура). Энергия взаимодействия в ансамбле таких контуров может быть представлена в виде

$$\mathcal{H} = -(1/2) \sum_{ij\alpha\beta} I_{ij\alpha\beta} \rho_{i\alpha} \rho_{j\beta}, \quad (2)$$

где

$$\alpha, \beta = x, y, z; \quad \vec{\rho}_k = I_k S_k \vec{n}_k; \quad I_k = I_{ck} \sin(2\pi \vec{H} \vec{n}_k S_k / \Phi_0), \quad (3)$$

I_{ck} , S_k , \vec{n}_k - максимальный ток, площадь и вектор нормали к ней для k -го контура соответственно; Φ_0 - квант магнитного потока; потенциал диполь-дипольного взаимодействия.

$$I_{ij\alpha\beta} = (\vec{r}_{ij}^{-3}) (\delta_{\alpha\beta} - 3n_\alpha n_\beta). \quad (4)$$

$\delta_{\alpha\beta}$ - символ Кронекера, $n_\alpha n_\beta$ - направляющие косинусы. Для дальнейшего расчета формы линий МП воспользуемся методом, развитым в [4]. В этом методе функция распределения f внутренних магнитных полей контуров \vec{E} может быть представлена в виде

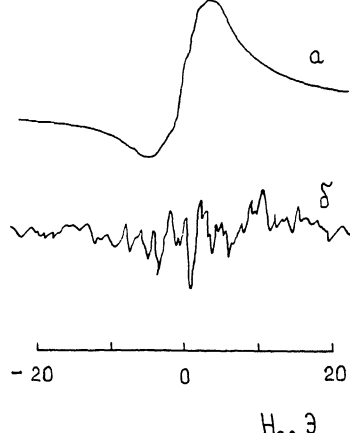


Рис. 2. Трансформация сигнала МО в керамике $YBCO$ при уменьшении размеров образца. (а) – $1.75 \times 2.75 \times 0.8$ мм, (б) – $0.1 \times 0.07 \times 0.07$ мм. $T = 77$ К, $H_M = 4 \cdot 10^{-2}$ Э

$$f(E_d) = \overline{\langle \delta(E_d - I_{ij\alpha\beta} P_{j\beta}) \rangle}, \quad (5)$$

где черта сверху обозначает усреднение по пространственному расположению контуров, а угловые скобки – по ориентациям одного диполя. Так как распределение \vec{E} обусловлено распределением лишь площадей контуров, то $|\vec{E}| = E = \Phi_0 / S$. Используя интегральное представление \mathcal{S} – функции в рамках метода [4], считая диполи классическими, при $T=0$ для $f(E)$ получаем

$$f(E) = \mathcal{S} / [\pi(E^2 + \delta^2)]^2, \quad E = (E_x^2 + E_y^2 + E_z^2)^{1/2}, \quad (6)$$

где $\delta = 4\pi^2 n p / 9\sqrt{3}$, n – число контуров в единице объема, p – магнитный дипольный момент одного контура. Для $f(E)$ выполняется соотношение нормировки

$$4\pi \int_0^\infty f(E) E^2 dE = 1. \quad (7)$$

Соотношения (6), (7) фактически дают функцию распределения площадей контуров квантования, связанных взаимодействием (2), и тем самым определяют форму сигнала МО в присутствии внешнего магнитного поля. Отметим, что подобное распределение было получено в [5] для электрических диполей в диэлектриках.

Отметим, что трехмерная функция распределения (6), (7) описывает свойства микроконтуров квантования как в объеме, так и на поверхности ВТСП, поскольку поле магнитного диполя направлено по нормали к плоскости образующего его контура и взаимодействие диполей происходит в пространстве, а не на плоскости. Это заме-

Параметры контуров квантования ВТСП-материалов

Материал	H_{max} , Э	S_{cp} , мкм ²	ΔS , мкм ²	n^* , см ⁻³
Пленка	1	2	6.8	$6.2 \cdot 10^8$
Керамика	4	0.5	1.7	$4.0 \cdot 10^{10}$

* Для оценки n использование значения J_c ($T=0$) = 10^6 А/см².

чание важно, поскольку МО формируется поверхностью ВТСП материала (и вообще проводящих сред).

Задачу о вычислении первообразной МО $\mathcal{U}(H)$ разобьем на две части: расчет отклика одного контура, лежащего на поверхности ВТСП и индуктивно связанного с СВЧ резонатором, и последующее усреднение с функцией распределения (6).

Для вычисления дисперсионной компоненты МО $\mathcal{U}(H)$ используем выражение для сдвига частоты $\Delta\omega$ ВЧ контура (резонатора), индуктивно связанного со сверхпроводящим кольцом, содержащим слабую связь [6]

$$\Delta\omega/\omega = -(\pi M^2 I_c / \Phi_0 L_T) (1 - \cos(2\pi H S / \Phi_0)). \quad (8)$$

Здесь M – коэффициент взаимоиндукции, I_c – критический ток слабой связи, L_T – индуктивность ВЧ контура. Выражение (8) получено в приближении $R_j \gg \omega L_j$ (R_j , L_j – резистивность и параметрическая индуктивность джозефсоновской связи соответственно). Усредняя (8) с функцией распределения (6), получаем

$$\mathcal{U}(H) = -(\pi M^2 I_c / \Phi_0 L_T) (1 - (1 + 2\pi H / \delta) \exp(-2\pi H / \delta)), \quad (9)$$

откуда

$$d\mathcal{U}(H)/dH = -(\pi M^2 I_c / \Phi_0 L_T) (4\pi^2 / \delta^2) H \exp(-2\pi H / \delta), \quad (10)$$

что полностью согласуется с экспериментом (1).

Как видно из (9), (10), единственным параметром теории является величина δ характеризующая как среднюю площадь контура S_{cp} , так и разброс площадей ΔS . Можно показать, что $\delta = 2\pi H_{max}$ и

$$S_{cp} = \Phi_0 / \pi^2 H_{max}; \quad \Delta S = (1 + 32/\pi^2)^{1/2} \Phi_0 / 2\pi H_{max}. \quad (11)$$

В таблице приведены оценочные значения параметров S_{cp} , ΔS и n , полученных из сопоставления теории с экспериментом для поликристаллических ВТСП – пленок и керамики УВСО. Интересно отметить, что, например, в реальном образце ВТСП – пленки размером $0.2 \times 0.2 \times 10^{-4}$ см – содержится $5 \cdot 10^4$ контуров, ответственных за сигнал МО.

С п и с о к л и т е р а т у р ы

- [1] З а р и ц к и й И.М. и др. Радиоспектроскопия высокотемпературных сверхпроводников // Препринт № 11-89, Киев. 1989.
- [2] Blazey K.W. et al. // Phys. Rev. B. 1987. V. 36. P. 7241-7249.
- [3] Кончиц А.А. и др. // СФХТ. 1989. Т. 2. В. 6. С. 25-29
- [4] В у г м е й с т е р Б.Е., С т е ф а н о в и ч В.А. // ЖЭТФ. 1990. Т. 97. В. 6. С. 1867-1881.
- [5] К р а в ц о в а И.Н., Н е й м а р к Е.И., Р о й ц и н А.Б. // УФЖ. 1989. Т. 34. В. 8. С. 1260-1263.
- [6] Б а р о н е А., П а т е р н о Дж. Эффект Джозефсона. М.: Мир, 1984. 639 с.

Поступило в Редакцию
1 августа 1991 г.
В окончательной редакции
23 сентября 1991 г.